

## ЭФФЕКТ ВОЗВРАЩАЕМОСТИ ПРОСТРАНСТВЕННОЙ СТРУКТУРЫ ПРИ СПИНОДАЛЬНОМ РАСПАДЕ ЖИДКОГО РАСТВОРА

А.В.Антонов, Н.Ф.Бункин, А.В.Краснослободцев, А.В.Лобеев, Г.А.Ляхов,  
А.И.Маяровский

Институт общей физики РАН

117942 Москва, Россия

Поступила в редакцию 4 февраля 1993 г.

При переводе расслаивающегося раствора (2,4,6 – триметилпиридин + вода) в лабильную область в условиях замедленной конвекции обнаружены квазипериодические во времени изменения структуры спинодального распада. Показано, что такую неравновесность распада обеспечивает потоковый механизм пространственно-го разделения фаз.

Физический раствор может находиться в трех качественно различных состояниях<sup>1</sup>, области реализации которых на фазовой диаграмме разграничены бинодалью и спинодалью. В лабильной области (внутри спинодали) коэффициент диффузии отрицателен, поэтому основное состояние пространственно неоднородно. Реализацию его (спинодальный распад) наблюдать трудно из-за конвекции; только определение положения спинодали на фазовой диаграмме вынуждает применять либо экстраполяционные методики<sup>2</sup>, действующие лишь около критической точки  $T_c$ , либо нетривиальные способы быстрого изменения (светоиндуцированного<sup>3</sup> или за счет интенсивного перемешивания<sup>4</sup>) параметров. Требования к скорости перевода в состояние распада ужесточаются с увеличением "глубины погружения"  $\Delta T$  в лабильную область – в кювете с размером  $\sim 1\text{ см}$  раствор расслаивается при  $\Delta T \sim 10^{-3}\text{ К}$  за 15 мин, а при  $\Delta T \sim 1\text{ К}$  – в течение 1с. Скорость расплывания упорядоченной распадной структуры за счет конвективного противотока легкой и тяжелой фаз уменьшается с ростом вязкости раствора либо с уменьшением разности плотностей сопряженных фаз; это, однако, неуправляемые параметры.

Выходом служит использование тонкослойной вертикальной геометрии кюветы с исследуемым раствором. Конвекцию здесь замедляют силы поверхностного натяжения – время жизни структур спинодального распада увеличивается до десятков минут при  $\Delta T \sim 1 \div 10\text{ К}$ . При этом оказывается возможным, в дополнение к фиксации упорядоченной структуры (первое наблюдение ее<sup>5</sup> проведено в сантиметровой кювете с раствором метанол+циклогексан), исследовать и кинетику распада. В частности, вывод о монотонной по времени динамике распада правомерен только в коротком временном интервале; с другой стороны, теория распада<sup>6</sup> ограничена предположением о малости отклонений концентрации от равновесной. Нелинейная же кинетика (с учетом зависимости) может быть нетривиальной, как и в других системах самоорганизационного типа<sup>7</sup>.

Эксперимент по наблюдению спинодального распада проведен с водным раствором 2,4,6 – триметилпиридина (ТМП), входящего в биологически важный класс азинов (нуклеотиды ДНК и РНК, ряд витаминов и лекарственных

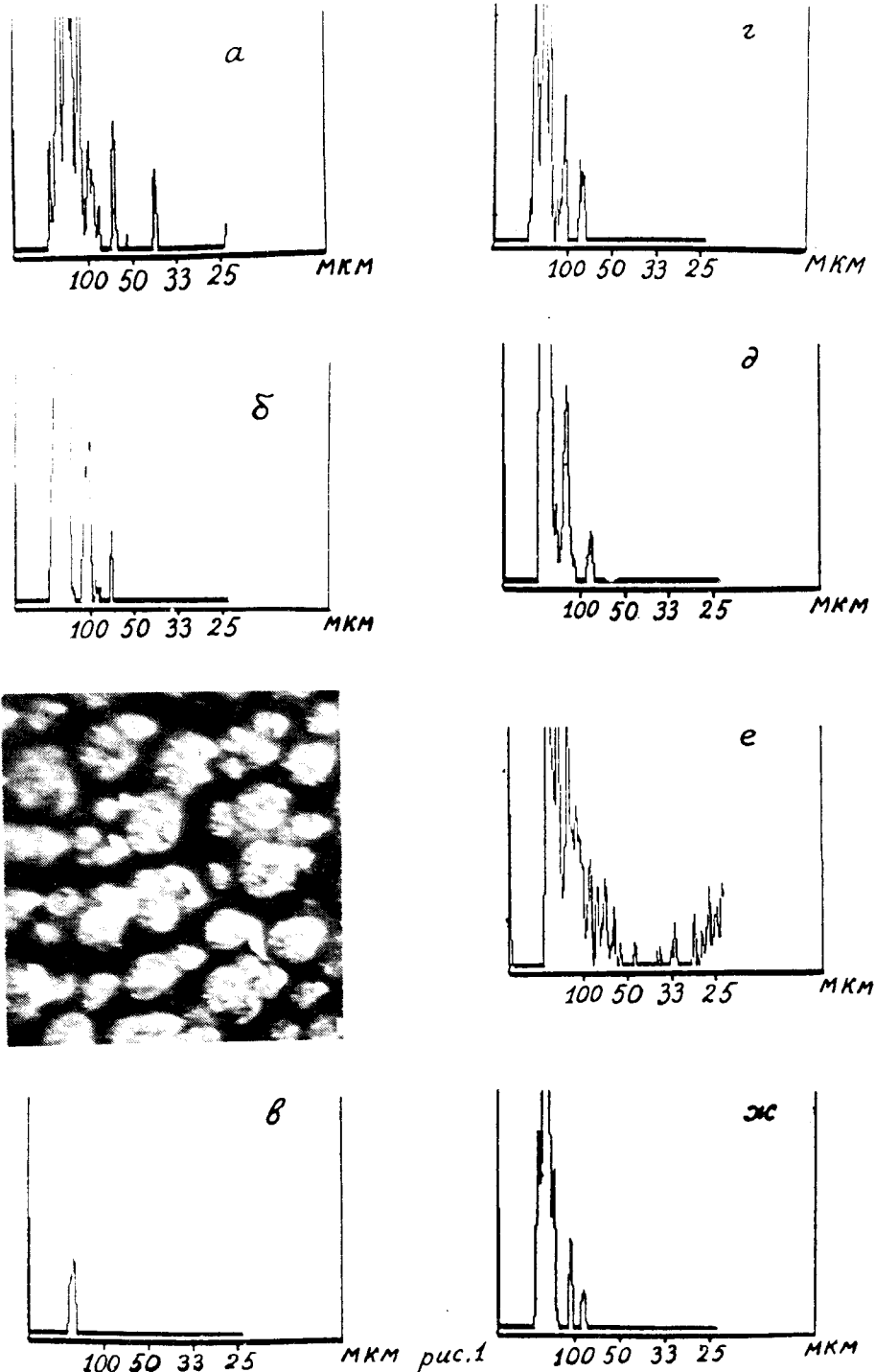


Рис.1. Динамика углового спектра рассеянного света при спинодальном распаде; время  $t$  от начала прогрева 1,5 мин ( $\alpha$ ), 2,8 мин ( $\beta$ ), 2,9 мин ( $\gamma$ ), показана также соответствующая этому моменту времени микротография структуры распада; 3,5 мин ( $\varepsilon$ ), 6,2 мин ( $\delta$ ), 12,8 мин ( $\theta$ ), 16,1 мин ( $\chi$ )

соединений). Физические свойства растворов ТМП определяет кинетика водородных связей N...H, обеспечивающих расслоение при повышении температуры (нижняя критическая точка  $T_c = 5,7^\circ\text{C}$ ). Кинетику перемешивания раствора критической концентрации (97% мол. H<sub>2</sub>O) в тонкой кювете (расстояние между окнами  $d = 50\text{ мкм}$ ) определяла только диффузия, поэтому для глубокого захода в лабильную область (до  $25 \pm 30^\circ\text{C}$ ) достаточным было использование обычного термостата. Время установления теплового равновесия в растворе составляло  $\sim 10$  мин.

Экспериментальная установка включала одномодовый Не-Не лазер с плоскопараллельным пучком гауссова профиля (диаметр пятна, сформированного телескопом и "мягкой диафрагмой" составляет  $\sim 1,5\text{ см}$ ), который просвечивал кювету с исследуемым раствором. Через собирающую линзу ( $f = 4\text{ м}$  и диаметр апертуры  $22,5\text{ см}$ ), захватывающую лучи, рассеянные и крупно-, и мелкомасштабными структурами, и маску, перекрывавшую нулевой максимум, излучение попадало в телекамеру с диаметром апертуры  $2\text{ см}$ . Отдельные участки кюветы с помощью микроскопа проецировались на вторую телекамеру для параллельного наблюдения динамики структур и углового спектра рассеяния на них. С помощью микроскопа мы наблюдали, что через 1 мин после включения термостата появляется движущийся поперек кюветы фронт волны спинодального распада, за фронтом видны мелкие ячеистые структуры с размером  $1 - 10\text{ мкм}$ , затем во всем поле наблюдения структуры укрупняются до  $100\text{ мкм}$  ( $t = 2,9\text{ мин}$ , см. фото рис.1), наконец, эти  $100\text{ мкм}$  ячейки объединяются в агрегаты  $\sim 1\text{ см}$ .

Сигналы спектра рассеяния с телекамеры после аналого-цифрового преобразователя обрабатывались компьютером; компьютер считывал яркость кадра вдоль выделенной телевизионной строки. Аналоговый сигнал записывался с временным интервалом  $1\text{ с}$  либо  $5\text{ с}$  в течение  $20\text{ мин}$ . Размер рассеивающей структуры определялся заменой кюветы дифракционной решеткой с известным шагом; с учетом маски система обработки фиксировала структуры с размерами от  $20$  до  $300\text{ мкм}$ .

Типичная серия полученных денситограмм углового спектра представляет следующую картину развития спинодального распада (рис.1). До момента времени  $t \sim 1\text{ мин}$  концентрация однородна; начало распада соответствует появлению рефлексов по всему полю телекамеры (рис.1 $a$ ). С течением времени мелкие структуры исчезают и видны лишь рефлексы от структур размерами  $300 - 60\text{ мкм}$  (рис.1 $b$ ); далее структуры становятся столь крупными, что рефлекс от них перекрывается маской (рис.1 $c$ ). Денситограммы, соответствующие большим временем, демонстрируют периодичность процесса: вновь появляются крупномасштабные структуры с размерами  $50 - 300\text{ мкм}$  ( $t = 3,5$  и  $12,8\text{ мин}$ ); затем ( $t = 6,2$  и  $16,1\text{ мин}$ ) восстанавливается картина с тремя четко выраженными рефлексами.

Обработка массива из 240 либо 1200 денситограмм угловых спектров типа рис.1 представляет динамику интенсивности рассеяния света структурами заданных масштабов. Для структур размером  $60\text{ мкм}$  (рис.2 $a$ ) рост и спад интенсивности сменяют друг друга как в еще не установившемся тепловом режиме (моменты  $t \approx 2$  и  $6\text{ мин}$  соответствуют появлению тройки характерных рефлексов на рис.1), так и в режиме, стационарном по температуре: при  $t \geq 10\text{ мин}$  также имеют место рост, спад и выход на квазипостоянный уровень интенсивности (момент возврата к трехрефлексному спектру –  $t \sim 16\text{ мин}$ ). Ка-

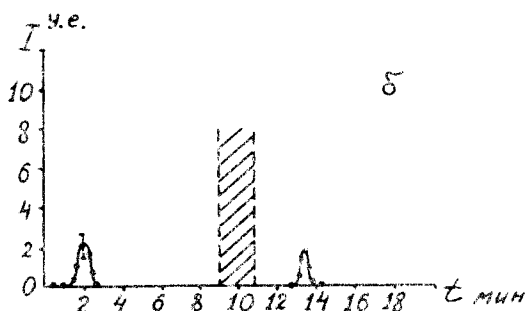
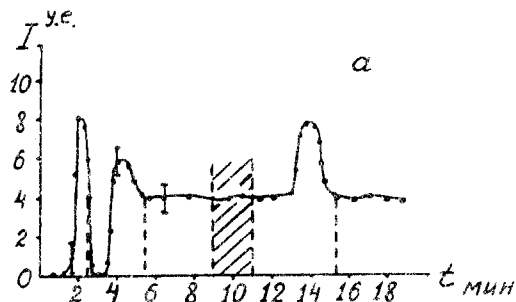


Рис.2. Временная зависимость интенсивности рефлекса от структуры фиксированного масштаба, 60 мкм (a), 30 мкм (b), штриховкой обозначен временной интервал, в который гарантировано попадает момент установления теплового равновесия

чественно аналогичный характер имеет динамика интенсивности рассеяния от структур с размером 30 мкм (рис.2б), в то же время квазипериод спинодального распада зависит от размера распадающейся структуры. Определенную роль здесь может играть конечная толщина слоя раствора в кювете (50 мкм). Существенный же вывод заключается в том, что, во-первых, динамика спектров практически не зависит от процесса установления теплового режима, во-вторых, спинодальный распад явно демонстрирует известную в физике нелинейных систем "возвращаемость" (см. <sup>7</sup>). Это именно нелинейный эффект, так как определяющими в распаде служат диффузионные, а не волновые процессы. Описание его требует обобщения теории <sup>6</sup>, учитывающего зависимость параметров от концентрации.

Исходным для такого обобщения служит функционал свободной энергии

$$F = \int dV [f(u) + K(\text{grad } u)^2], \quad (1)$$

где  $u$  – концентрация одной из компонент смеси. Вариация (1), в отличие от макроскопически равновесных фазовых переходов, не дает сразу уравнение движения для параметра порядка:  $V^{-1} \cdot \delta F / \delta u = \mu_1 - \mu_2$  – разность химических потенциалов двух компонент. Массовый поток  $J_1 = -L \text{grad}(\mu_1 - \mu_2)$ , где  $L$  – коэффициент подвижности, и условие неразрывности  $\partial_t u = -\text{div } J_1$  приводят к диффузионному уравнению:

$$u_t = L \nabla^2 (\partial f / \partial u - 2K \nabla^2 u). \quad (2)$$

Линеаризация,  $f = -(a/2)u^2$ , позволяет определить только границы области  $(u, T)$  спинодального распада <sup>6,1</sup>. Для исследования его кинетики необходим учет нелинейности  $f$ :  $f(u) = -(a/2)u^2 + (b/3)u^3 + (d/4)u^4$ , где  $d > 0$ , а единственный зависящий от температуры коэффициент  $a = \alpha(T - T_c)/T_c$  изменяет знак в критической точке.

Стационарные ( $u_t = 0$ ) решения (2) удается получить аналитически в одномерной модели ( $\text{grad}u = u_x$ ). Их общий тип – периодический:

$$u_\infty = [u_2 - u_1 m \text{sn}^2(k, \lambda x)]/[1 - m \text{sn}^2(k, \lambda x)]. \quad (3)$$

Здесь  $m = (u_3 - u_2)/(u_3 - u_1)$ ;  $\lambda^2 = (d/8K)(u_4 - u_2)(u_3 - u_1)$ ;  $\text{sn}(k, \lambda x)$  – эллиптический синус Якоби с модулем  $k^2 = (u_3 - u_2)(u_4 - u_1)/[(u_4 - u_2)(u_3 - u_1)]$ ;  $u_i$  – пронумерованные в порядке возрастания корни потенциала  $u_x^2 = K^{-1}f(u) + Au + B$ ;  $A$  и  $B$  – константы граничных условий. Пространственные колебания (3) концентрации происходят между значениями  $u_2$  и  $u_3$  с периодом  $X = (2/\lambda)\mathcal{R}(k)$ ;  $\mathcal{R}(k)$  – полный эллиптический интеграл.

Для анализа нелинейной диффузационной задачи (2) используем прием, вводящий "медленный период": предполагаем, что нестационарное решение имеет пространственную зависимость (3) с переменным периодом  $X(t)$ , а следовательно, введя  $Z(t) = 1 - k^2(t)$ , имеем

$$u = u_\infty[x, Z(x, t)]. \quad (4)$$

Условия применимости приближения "медленного периода" следующие:

$$|\partial \ln Z / \partial x| \ll X^{-1}, \quad |\partial \ln Z / \partial t| \ll (L/X^2)|\partial f / \partial(u^2)|, \quad LK/X^4. \quad (5)$$

Подставляя (4) в (2) и проводя усреднение по периоду  $X$  с учетом (5), для возмущения  $Z$  гауссова профиля приходим к уравнению типа Эйри, решение которого дает искомый результат:

$$Z \sim (p_3 q t)^{-1/3} Ai[(x + p_1 q t)(p_3 q t)^{-1/3}], \quad q = 0, 13(\mu/\Delta). \quad (6)$$

Пространственный период распределения концентрации квазипериодически изменяется во времени, асимптотически стремясь к стационарному значению. Квазипериод  $\mathfrak{T}$  здесь медленно изменяется со временем:

$$\mathfrak{T}_n = 7, 7 y_n (p_3/p_1^4)^{1/3} (\Delta^{7/6}/\mu), \quad (7)$$

где  $y_1 = 2, 30$ ,  $y_2 = 2, 70$ ,  $y_3 = 4, 05, \dots$  – нули функции Эйри. Его измерение (зависящее от граничных условий через  $\Delta$  и  $\mu$ ) позволяет получить еще одну (одновременно с  $X$ ) комбинацию неизвестных констант модели фазового перехода ( $p_1 \sim L(-a + 2bu_1 + 3du_1^2)$ ,  $p_3 \sim KL$ ).

Таким образом, расслаивающийся раствор в лабильной области обнаруживает наряду с "восходящей" диффузией и квазипериодическую временную "возвращаемость". Это свойство нелинейных систем нетипично для диффузионных процессов, моделирующих равновесные фазовые переходы, поэтому детальное исследование широкого круга аналогичных физических задач перспективно для уточнения общего механизма неравновесности: свойство "возвращаемости" при

спинодальном распаде должны обнаруживать и другие системы, претерпевающие фазовый переход; необходимым условием для этого является, по-видимому, нелокальность механизма разделения фаз. Очевидно, необходим более общий анализ модели (1), учитывающий неодномерную геометрию, явную (и нестационарную) зависимость параметров модели от температуры. Естественный подход к этому обобщению дает приближение "медленного периода".

- 
1. В.Н.Скринов, А.В.Скрипов, УФН **128**, 193 (1979).
  2. B.Chu, E.J.Schoens, and M.E.Fisher, Phys. Rev. **185**, 219 (1969).
  3. А.В.Антонов, Н.Ф.Бункин, А.В.Лобеев, Г.А.Ляхов, ЖЭТФ **99**, 1718 (1991).
  4. О.М.Атабаев, А.А.Сайдов, П.А.Таджibaев и др., ДАН СССР, **315**, 889 (1990).
  5. J.S.Huang, V.I.Goldburg, and A.W.Bjerkkaas, Phys. Rev. Lett. **32**, 921 (1974).
  6. J.W.Cahn, Acta Met. **9**, 795 (1961).
  7. А.В.Гапонов-Грехов, М.И.Рабинович, УФН **128**, 579 (1979).